

الاتحاد الدولي للاتصالات

ITU-R

قطاع الاتصالات الراديوية في الاتحاد الدولي للاتصالات

التوصية ITU-R M.1851
(06/2009)

نماذج رياضية لمخططات هوائيات أنظمة الرادارات
في خدمة الاستدلال الراديوي يتعين استخدامها
في الدراسة التحليلية للتداخل

السلسلة M

الخدمة المتنقلة وخدمة التحديد
الراديوي للموقع وخدمة الهواة
والخدمات الساتلية ذات الصلة

تمهيد

يضطلع قطاع الاتصالات الراديوية بدور يتمثل في تأمين الترشيد والإنصاف والفعالية والاقتصاد في استعمال طيف الترددات الراديوية في جميع خدمات الاتصالات الراديوية، بما فيها الخدمات الساتلية، وإجراء دراسات دون تحديد مدى الترددات، تكون أساساً لإعداد التوصيات واعتمادها. ويؤدي قطاع الاتصالات الراديوية وظائفه التنظيمية والسياساتية من خلال المؤتمرات العالمية والإقليمية للاتصالات الراديوية وجمعيات الاتصالات الراديوية بمساعدة لجان الدراسات.

سياسة قطاع الاتصالات الراديوية بشأن حقوق الملكية الفكرية (IPR)

يرد وصف للسياسة التي يتبعها قطاع الاتصالات الراديوية فيما يتعلق بحقوق الملكية الفكرية في سياسة البراءات المشتركة بين قطاع تقييس الاتصالات وقطاع الاتصالات الراديوية والمنظمة الدولية للتوحيد القياسي واللجنة الكهنتقنية الدولية (ITU-T/ITU-R/ISO/IEC) والمشار إليها في الملحق 1 بالقرار ITU-R 1. وترد الاستثمارات التي ينبغي لحاملي البراءات استعمالها لتقديم بيان عن البراءات أو للتصريح عن منح رخص في الموقع الإلكتروني <http://www.itu.int/ITU-R/go/patents/en> حيث يمكن أيضاً الاطلاع على المبادئ التوجيهية الخاصة بتطبيق سياسة البراءات المشتركة وعلى قاعدة بيانات قطاع الاتصالات الراديوية التي تتضمن معلومات عن البراءات.

سلاسل توصيات قطاع الاتصالات الراديوية

(يمكن الاطلاع عليها أيضاً في الموقع الإلكتروني <http://www.itu.int/publ/R-REC/en>)

العنوان	السلسلة
البث الساتلي	BO
التسجيل من أجل الإنتاج والأرشفة والعرض؛ الأفلام التلفزيونية	BR
الخدمة الإذاعية (الصوتية)	BS
الخدمة الإذاعية (التلفزيونية)	BT
الخدمة الثابتة	F
الخدمة المتنقلة وخدمة التحديد الراديوي للموقع وخدمة الهواة والخدمات الساتلية ذات الصلة	M
انتشار الموجات الراديوية	P
علم الفلك الراديوي	RA
الخدمة الثابتة الساتلية	S
أنظمة الاستشعار عن بعد	RS
التطبيقات الفضائية والأرصاد الجوية	SA
تقاسم الترددات والتنسيق بين أنظمة الخدمة الثابتة الساتلية والخدمة الثابتة	SF
إدارة الطيف	SM
التجميع الساتلي للأخبار	SNG
إرسالات الترددات المعيارية وإشارات التوقيت	TF
المفردات والمواضيع ذات الصلة	V

ملاحظة: تمت الموافقة على النسخة الإنكليزية لهذه التوصية الصادرة عن قطاع الاتصالات الراديوية بموجب الإجراء الموضح في القرار ITU-R 1.

النشر الإلكتروني
جنيف، 2009

© ITU 2009

جميع حقوق النشر محفوظة. لا يمكن استنساخ أي جزء من هذه المنشورة بأي شكل كان ولا بأي وسيلة إلا بإذن خطي من الاتحاد الدولي للاتصالات (ITU).

التوصية ITU-R M.1851

نماذج رياضية لمخططات هوائيات أنظمة الرادارات في خدمة الاستدلال الراديوي يتعين استخدامها في الدراسة التحليلية للتداخل

(2009)

مجال التطبيق

تصف هذه التوصية مخططات هوائيات أنظمة الرادارات في خدمة الاستدلال الراديوي يتعين استخدامها في الدراسات التحليلية للتداخل بنوعية التداخل وحيد المصدر والتداخل المجمع. فإذا ما عرفت، على نحو مسبق، المعلومات بشأن عرض حزمة الهوائي بقدر 3 dB وسوية الذروة الأولى للفصوص الجانبية، أمكن اختيار المجموعة المناسبة من المعادلات لكل من مخططي السمات والارتفاع. وتحدد هذه التوصية كذلك تعريف مخططات الذروة، بالنسبة لمسبب تداخل وحيد المصدر، والمخططات المتوسطة، بالنسبة لمسببات تداخل متعدد المصادر.

إن جمعية الاتصالات الراديوية للاتحاد الدولي للاتصالات،

إذ تضع في اعتبارها

أ) أنه لا توجد معادلات معروفة لمخططات هوائيات أنظمة الرادارات في خدمة الاستدلال الراديوي، ضمن توصيات قطاع الاتصالات الراديوية، قصد استعمالها في تقييمات التداخل؛

ب) أن نموذجاً رياضياً يعد لازماً من أجل إجراء المخططات المعممة للهوائيات المعدة للدراسات التحليلية للتداخل عندما لا يتوفر أي مخطط محدد لأنظمة الرادارات في خدمة الاستدلال الراديوي،

توصي

1 بأنه ينبغي، إذا ما توفرت معادلات مخططات و/أو مخطط الهوائيات واجبة التطبيق على الرادار (الرادارات) قيد الدراسة ضمن توصيات أخرى لقطاع الاتصالات الراديوية التي تتناول خصائص أنظمة الرادارات في خدمة الاستدلال الراديوي، استعمال تلك المعادلات؛

2 بأنه يجوز، في غياب معلومات محددة تتعلق بمخططات هوائيات الأنظمة المعنية للرادارات في خدمة الاستدلال الراديوي، استعمال أحد النماذج الرياضية المرجعية للهوائيات الموصوفة في الملحق 1 وذلك لأغراض تحليل التداخل.

الملحق 1

نماذج رياضية لمخططات هوائيات أنظمة الرادارات في خدمة الاستدلال الراديوي يتعين استخدامها في الدراسات التحليلية للتداخل

1 مقدمة

لا بد من إيجاد نموذج رياضي معمم لمخططات هوائيات أنظمة الرادارات في خدمة الاستدلال الراديوي عندما لا يتوفر لهذه المخططات أي تعريف ضمن توصيات قطاع الاتصالات الراديوية واجبة التطبيق على نظام الرادار في خدمة الاستدلال الراديوي قيد التحليل. ويمكن استعمال النماذج المعممة لمخططات الهوائيات في الدراسات التحليلية التي تخص مداخل مسببات التداخل وحيد المصدر ومتعدد المصادر، من قبيل التداخل الصادر عن الأنظمة الأخرى للرادارات والاتصالات.

ويصف هذا النص المخططات المقترحة للهوائيات والتي يتعين استخدامها. وإذا ما عرفت، على نحو مسبق، المعلومات بشأن فتحة حزمة الهوائي وسوية الذروة الأولى للفصوص الجانبية، أمكن اختيار المجموعة المناسبة من المعادلات واجبة الاستعمال لكل من مخططي السمات والارتفاع.

ويسجل الجدول 1 النتائج المحرزة لمسح أممية معلمات الهوائيات استناداً إلى توصيات قطاع الاتصالات الراديوية.

الجدول 1

الحدود المسموحة لمعلمات الهوائيات

القيمة القصوى	القيمة الدنيا	الوصف	معلمة الهوائي
33 400	420		ترددات الإرسال والاستقبال (MHz)
		أفقي، رأسي، دائري	نمط استقطاب الهوائي
		شامل الاتجاهات، صفيح عنصر ياغي، عاكس مكافئي، صفيح هوائيات مطاورة	نمط الهوائي
		مروحي، حزمة نقطية، حزمة بقاطع التمام التربيعة	نمط الحزمة - الأكثر شيوعاً
54	25,6		كسب الإرسال والاستقبال (dBi)
5,75	0,25	حزمة نقطية	ارتفاع فتحة حزمة الهوائي (بالدرجات)
44 إلى 3,6 CSC ²	20 إلى 3,6 CSC ²	حزمة بقاطع التمام التربيعة (CSC ²)	
5,75	0,4	حزمة نقطية	سمت فتحة الحزمة (بالدرجات)
90+	60-		ارتفاع حد زاوية المسح (بالدرجات)
360	30 قطعاً		سمت حد زاوية المسح (بالدرجات)
15,6-	35-		السوية الأولى للفصوص الجانبية الأدنى من ذروة الفص الرئيسي (dB)

تم استخدام الجدول 1 من أجل الاسترشاد به في تطوير الأنماط والمخططات المقترحة للهوائيات.

2 الصيغ المقترحة

من أجل تبسيط التحليل، يعتبر التوزيع الحالي للهوائي بصفته دالة تعتمد على إحدائيات الارتفاع أو السمات. ويتم الحصول على مخطط الاتجاهية، $F(\mu)$ ، لتوزيع معين انطلاقاً من التحويل المتتهي لفورييه (Fourier) وفقاً للتالي:

$$F(\mu) = \frac{1}{2} \int_{-1}^{+1} f(x) \cdot e^{-j\mu x} dx$$

حيث:

$f(x)$: الشكل النسبي لتوزيع المجال، انظر الجدول 2 والشكل 1

μ : معلمة متاحة في الجدول أدناه كالتالي $\pi \left(\frac{l}{\lambda} \right) \sin(\alpha) =$

l : الطول الكلي للفتحة

λ : طول الموجة

ω : ارتفاع الحزمة أو زاوية تسديد (مسح) السمات

α : الزاوية نسبة إلى الفتحة العادية

θ : الزاوية نسبة إلى الفتحة العادية وزاوية التسديد ($\alpha - \omega$)

x : المسافة المقيسة على طول الفتحة: $-1 \leq x \leq 1$

z : الترميز للأعداد المركبة.

يقدم الجدول 2 المخططات النظرية المقترحة للهوائيات. وتعد هذه المخططات صالحة في $\pm 90^\circ$ من زاوية مسح الحزمة نسبةً إلى خط تسديد الهوائي. أما القيم التي تزيد عن $\pm 90^\circ$ من هذه الزاوية فيفترض أن تكون في الفص الخلفي حيث يجب تطبيق السوية الدنيا لقناع الهوائي. وتعد المعلمات والصيغ التي يتعين استخدامها من أجل تحديد مخططات اتجاهية الهوائيات (ADP) المقدمة ضمن الجدول 2 (ثم بعد ذلك في الجدول 3 ذي الصلة والأشكال ذات الصلة) صحيحة فقط في الحالة التي يساوي فيها اتساع المجال عند حافة فتحة الهوائي، الصفرة، ويكون ضمن حدود الفص الرئيسي والفصين الجانبيين الأولين لمخططات اتجاهية الهوائي. أما بالنسبة للقيم الأخرى لاتساع المجال عند حافة فتحة الهوائي، فيمكن أن يختلف شكل مخططات اتجاهية الهوائي ومعلماتها اختلافاً هاماً عن القيم النظرية المقدمة في هذه التوصية. وإذا ما توفرت مخططات فعلية للهوائيات أنظمة الرادارات، فينبغي عندئذ رقومتها واستخدامها.

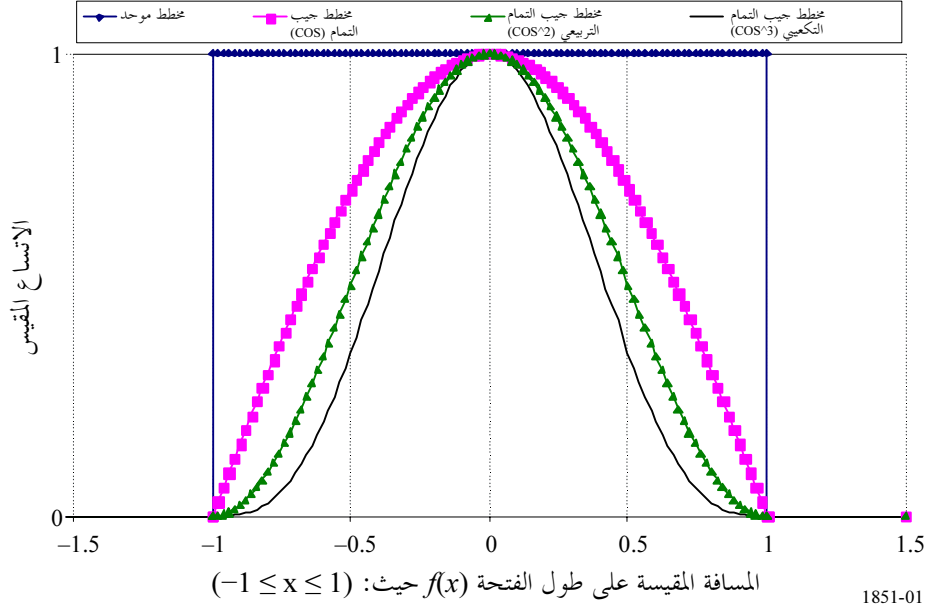
الجدول 2

معلومات اتجاهية الهوائيات

المعادلة رقم	السوية الدنيا المقترحة لقناع الهوائي (dB)	السوية الأولى للفصوص الجانبية الأدنى من ذروة الفص الرئيسي (dB)	المعلمة μ بصفتها دالة تعتمد على المعلمة θ_3	المعلمة θ_3 وهي فتحة نصف القدرة للحزمة (بالدرجات)	مخطط الاتجاهية $F(\mu)$	الشكل النسبي لتوزيع المجال $f(x)$ حيث: $-1 \leq x \leq 1$
(1)	30-	13,2-	$\frac{\pi \cdot 50.8 \cdot \sin(\theta)}{\theta_3}$	$50.8 \left(\frac{\lambda}{l} \right)$	دالة الجيب: $\frac{\sin(\mu)}{\mu}$	قيمة موحدة بقدر 1
(2)	50-	23-	$\frac{\pi \cdot 68.8 \cdot \sin(\theta)}{\theta_3}$	$68.8 \left(\frac{\lambda}{l} \right)$	$\frac{\pi}{2} \left[\frac{\cos(\mu)}{\left(\frac{\pi}{2} \right)^2 - \mu^2} \right]$	دالة جيب التمام $\text{COS}(\pi \cdot x/2)$
(3)	60-	32-	$\frac{\pi \cdot 83.2 \cdot \sin(\theta)}{\theta_3}$	$83.2 \left(\frac{\lambda}{l} \right)$	$\frac{\pi^2}{2 \cdot \mu} \left[\frac{\sin(\mu)}{\left(\pi^2 - \mu^2 \right)} \right]$	دالة جيب التمام التربيعي $\text{COS}(\pi \cdot x/2)^2$
(4)	70-	40-	$\frac{\pi \cdot 95 \cdot \sin(\theta)}{\theta_3}$	$95 \left(\frac{\lambda}{l} \right)$	$\frac{3 \cdot \pi \cdot \cos(\mu)}{8} \left[\frac{1}{\left(\frac{\pi}{2} \right)^2 - \mu^2} - \frac{1}{\left(\frac{3 \cdot \pi}{2} \right)^2 - \mu^2} \right]$	دالة جيب التمام التكعيبي $\text{COS}(\pi \cdot x/2)^3$

حيث تكون المعلمة θ_3 هي فتحة نصف القدرة لحزمة الهوائي (بالدرجات) بقدر 3 dB. ويمثل الشكل 1 الرسوم البيانية للأشكال النسبية لدوال توزيع المجال $f(x)$ ، مثلما حدّد تعريفها بالجدول 2.

الشكل 1

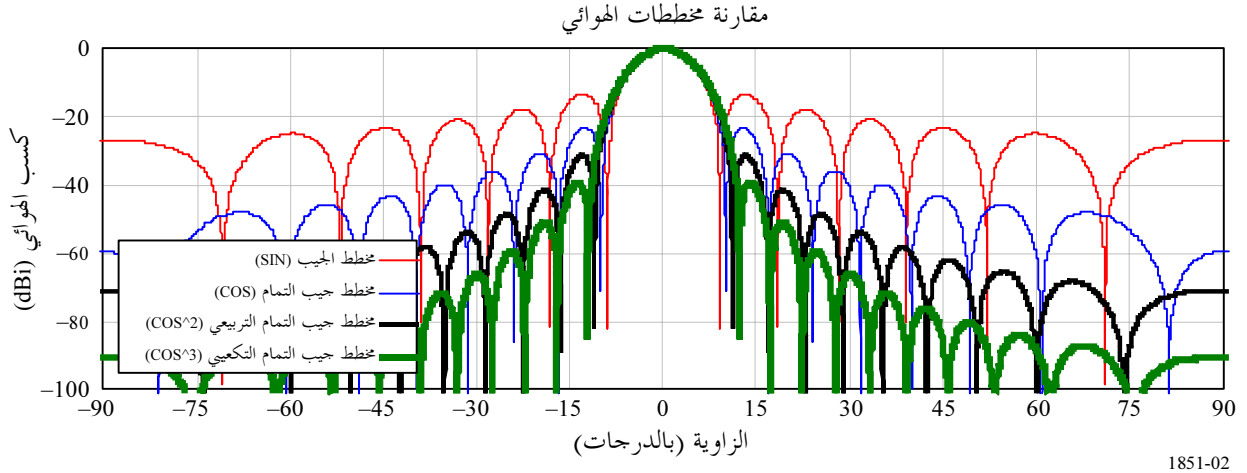
الشكل النسبي لتوزيع المجال $f(x)$ 

ولما كانت فتحة نصف القدرة لحزمة الهوائي، θ_3 ، متاحة، فإن قيمة μ يمكن إعادة تعريفها بصفحتها دالة تتوقف على فتحة نصف القدرة لحزمة الهوائي. ويمكن إنجاز ذلك بواسطة الاستعاضة عن الكمية $\left(\frac{l}{\lambda}\right)$ الواردة ضمن المعادلة $\mu = \pi \left(\frac{l}{\lambda}\right) \sin(\alpha)$ بثابت يعتمد على الشكل النسبي لتوزيع المجال؛ مع قسمته بفتحة نصف القدرة للحزمة، θ_3 ، مثلما يبين ذلك الجدول 2. ويمكن اشتقاق هذه القيم الثابتة 50,8 و 68,8 و 83,2 والقيمة الثابتة 95، التي يُظهرها الجدول 2، بواسطة جعل المعادلة الخاصة بالدالة $F(\mu)$ مساوية للقدر: -3 dB، وحل المعادلة بالنسبة للزاوية θ .

ويُمثل الشكل 2 مخططات الهوائي لدوال التوزيع لجيب التمام (COS) وجيب التمام التربيعي (COS^2) وجيب التمام التكعيبي (COS^3).

الشكل 2

مقارنة مخططات الهوائي، فتحة الحزمة بقدر 3 dB تضاهي الزاوية 8,0°



وبالاستناد إلى الشكل 2 أعلاه، يتم اشتقاق معادلات القناع باستخدام منحني متوافق مع السويات الذروية للفصوص الجانبية للهوائي. وقد ثبت، بواسطة مقارنة تكامل المخطط النظري والمخطط المقترح للقناع، أن الفرق بين القدرة الذروية والمتوسطة في انقطاع واحد على مستوى رئيسي يساوي حوالي 4 dB. ويتوجب تطبيق التعريفات التالية:

- تحويل المعادلات من (1) إلى (4) إلى قيم بالديسيبل (dB) باستخدام التالي:
 $20 \cdot \log(\text{abs}(\text{Directivity Pattern}))$ أي: 20 ضارب لوغاريتم (مطلق (مخطط الاتجاهية))؛
- تقيس كسب مخططات الهوائي. أما المخطط الموحد فلا يستلزم التقيس، وأما بالنسبة لمخطط جيب التمام فاطرح القيمة: -3,92 dB، وبالنسبة لمخطط جيب التمام التربيعي اطرح القيمة: -6,02 dB، وبالنسبة لمخطط جيب التمام التكعيبي اطرح القيمة: -7,44 dB؛
- من أجل رسم مخطط القناع، استخدم المخطط النظري للاتجاهية استناداً إلى الجدول 2، مثلما جاء بيانه في الخطوتين السابقتين، حتى تصل إلى نقطة الانقطاع إما بالنسبة للمخطط الذروي أو المتوسط للهوائي، حسب ما يقتضيه الحال. وبعد نقطة الانقطاع، طُبّق مخطط القناع مثلما جاء بيانه في الجدول 3؛
- إن قناع المخطط الذروي هو مخطط الهوائي الذي يمر فوق ذروات الفصوص الجانبية. ويتعين استخدام هذا القناع بالنسبة لمسبب التداخل وحيد المدخل؛
- إن قناع المخطط المتوسط هو مخطط الهوائي الذي يقارب القيمة التكاملية للمخطط النظري. ويتعين استخدامه لمسببات التداخل المجمع متعدد المصادر؛
- إن نقطة انقطاع قناع المخطط الذروي هي النقطة التي تقع في اتساع المخطط (dB) وتكون أدنى من الكسب الأقصى حيث يتعد شكل المخطط من المخطط النظري إلى المخطط الذروي للقناع، مثلما جاء بيانه في الجدول 3؛
- إن نقطة انقطاع قناع المخطط المتوسط هي النقطة التي تقع في اتساع المخطط (dB) وتكون أدنى من الكسب الأقصى حيث يتعد شكل المخطط من المخطط النظري إلى المخطط المتوسط للقناع، مثلما جاء بيانه في الجدول 3؛
- إن المعلمة θ_3 هي فتحة حزمة الهوائي بقدر 3 dB (بالدرجات)؛
- إن المعلمة θ هي الزاوية الموجودة إما في الانقطاعات على المستويين الرئيسيين للارتفاع (المستوى الرأسي) أو للمستوى الأفقي (بالدرجات)؛
- إن القناع المتوسط هو القناع الذروي بعد طرح ما يقارب 4 dB. ولاحظ أن نقاط انقطاع المخطط الذروي تختلف عنها في المخططات المتوسطة.

ويبين الجدول 3 المعادلات التي يجب استعمالها في هذه الحسابات.

الجدول 3

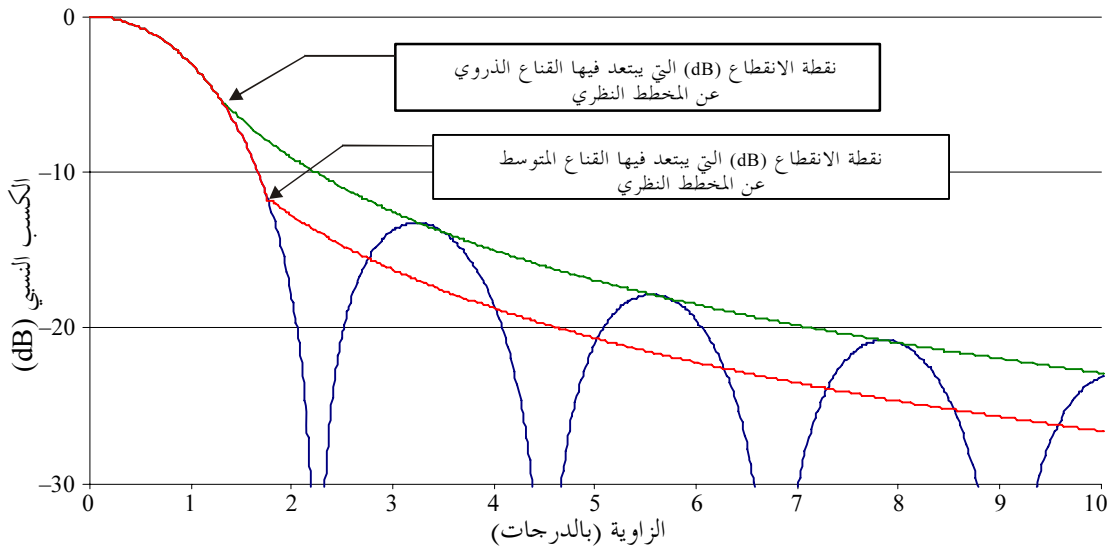
معادلات منحطات القناع الذروي والمتوسط

رقم المعادلة	الثابت المضاف إلى مخطط الذروة لتحويله إلى قناع متوسط (dB)	نقطة انقطاع المخطط المتوسط التي يتعد فيها القناع من المخطط النظري (dB)	نقطة انقطاع المخطط الذروي التي يتعد فيها القناع من المخطط النظري (dB)	معادلة القناع بعد نقطة انقطاع المخطط التي يتعد فيها القناع من المخطط النظري (dB)	نمط المخطط
(5)	3,72-	12,16-	5,75-	$-8.584 \cdot \ln \left(2.876 \cdot \frac{ \theta }{\theta_3} \right)$	الجيب (SIN)
(6)	4,32-	20,6-	14,4-	$-17.51 \cdot \ln \left(2.33 \cdot \frac{ \theta }{\theta_3} \right)$	جيب التمام (COS)
(7)	4,6-	29,0-	22,3-	$-26.882 \cdot \ln \left(1.962 \cdot \frac{ \theta }{\theta_3} \right)$	جيب التمام التربيعي (COS ²)
(8)	4,2-	37,6-	31,5-	$-35.84 \cdot \ln \left(1.756 \cdot \frac{ \theta }{\theta_3} \right)$	جيب التمام التكعيبي (COS ³)

إن الدالة $\ln()$ هي دالة اللوغاريتم الطبيعي. ويقدم الشكل 3 مثلاً عن نقطة الانقطاع.

الشكل 3

مثال عن نقطة الانقطاع



أما حالة مخطط الحزمة بقاطع التمام التريبيعي فهي حالة خاصة. وتعطي المعادلة التالية هذا المخطط:

$$(9) \quad G(\theta) = G(\theta_1) \cdot \left(\frac{CSC(\theta)}{CSC(\theta_1)} \right)^2$$

حيث:

$G(\theta)$: مخطط الحزمة بقاطع التمام التريبيعي بين الزاوية θ_1 والزاوية القصوى θ_{Max}

$G(\theta_1)$: كسب المخطط عند الزاوية θ_1

θ_1 : فتحة نصف القدرة لحزمة الهوائي التي يبدأ عندها مخطط الحزمة بقاطع التمام التريبيعي $\theta_3 =$

θ_{Max} : الزاوية القصوى التي يقف عندها مخطط الحزمة بقاطع التمام التريبيعي

θ : زاوية الارتفاع

θ_3 : فتحة نصف القدرة لحزمة الهوائي.

ولا يراعى المخطط المتوسط للهوائي من أجل حساب مخطط الحزمة بقاطع التمام التريبيعي. وينبغي استخدامه بالنسبة لمسببات التداخل وحيد المصدر ومتعدد المداخل. ويطبق مخطط الحزمة بقاطع التمام على النحو التالي:

الجدول 4

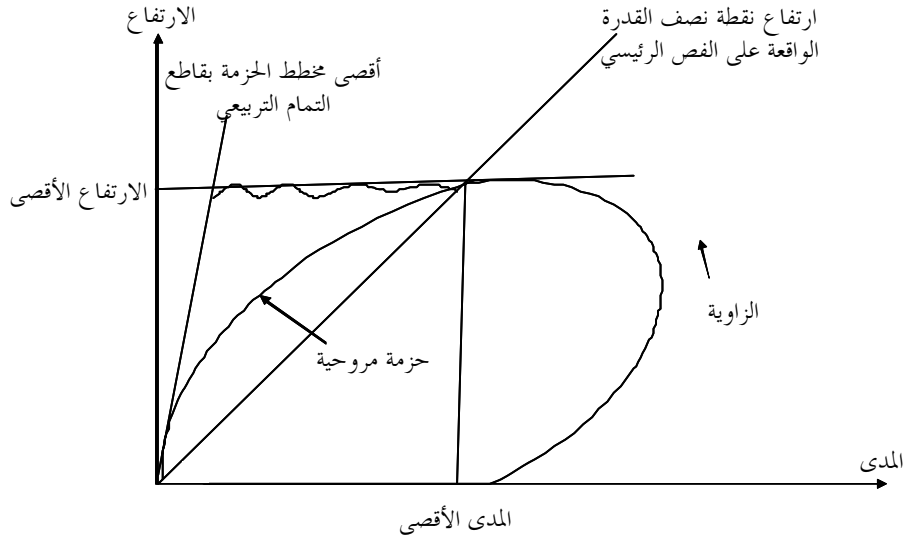
معادلات مخطط الهوائي بقاطع التمام التريبيعي

رقم المعادلة	الشرط	معادلة قاطع التمام التريبيعي
(10)	$\frac{-\theta_3}{0.88} \leq \theta \leq +\theta_3$	$\frac{\sin(\mu)}{\mu}$; $\mu = (\pi \cdot 50 \cdot 8 \cdot \sin(\theta)) / \theta_3$
(11)	$+\theta_3 \leq \theta \leq \theta_{Max}$	$G(\theta_1) \cdot \left(\frac{CSC(\theta)}{CSC(\theta_1)} \right)^2$
(12)	$\theta_{Max} \leq \theta \leq \theta_{90}$	السوية الدنيا لقاطع التمام (مثال = -55 dB)
(12a)	$\theta_1 = \theta_3$	$G(\theta_1) = \frac{\sin\left(\frac{\pi \cdot 50 \cdot 8 \cdot \sin(\theta_1)}{\theta_3}\right)}{\frac{\pi \cdot 50 \cdot 8 \cdot \sin(\theta_1)}{\theta_3}}$

وتمثل الأشكال الواردة أدناه وصفاً بيانياً لهذه المخططات.

الشكل 4

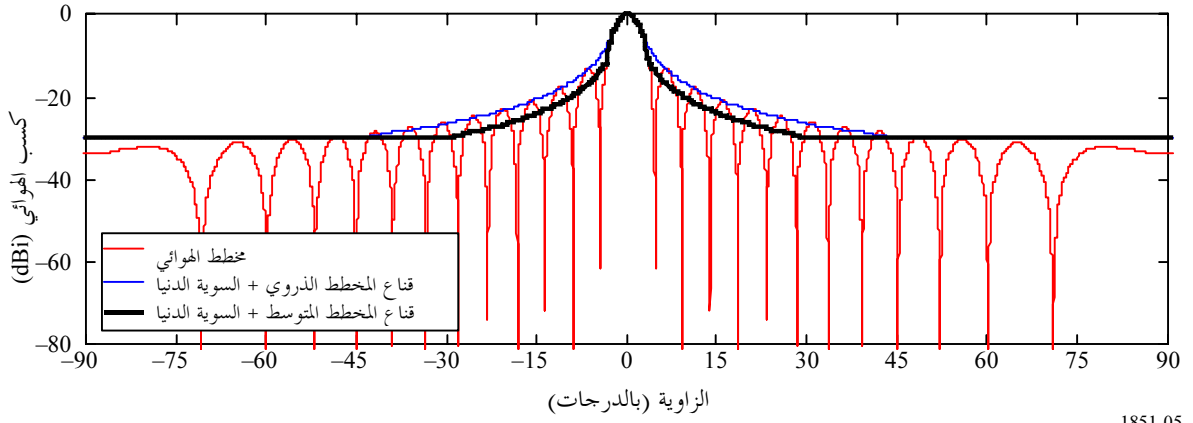
تغطية الحزمة بقاطع التمام التريبي لأنظمة رادارات البحث



1851-04

الشكل 5

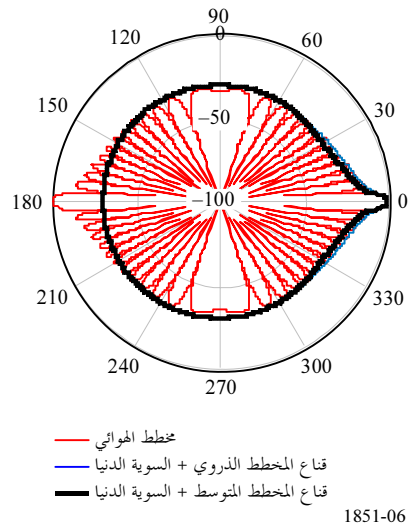
مخطط هوائي بالجيب، الغلاف الذروي والمتوسط



1851-05

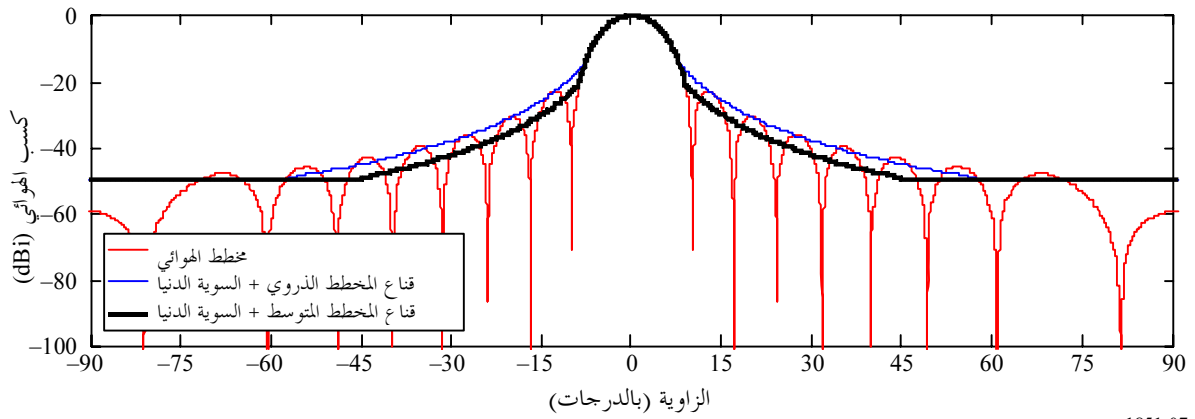
الشكل 6

مخطط هوائي قطبي بالجيب، الغلاف الذروي والمتوسط



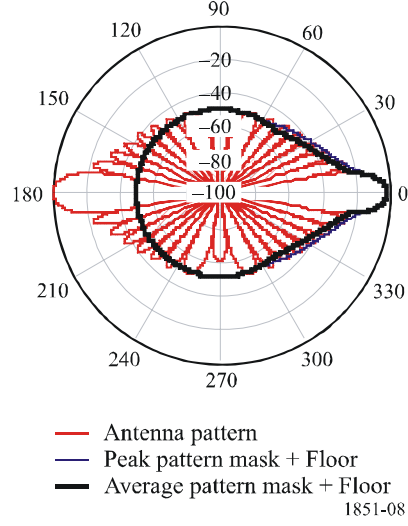
الشكل 7

مخطط هوائي مجيب التمام، الغلاف الذروي والمتوسط



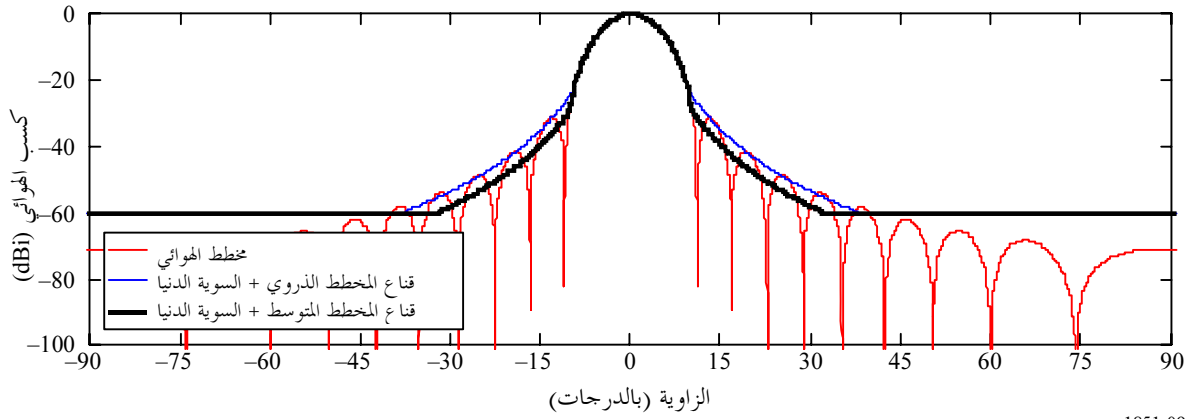
الشكل 8

مخطط هوائي قطبي بجيب التمام، الغلاف الذروي والمتوسط



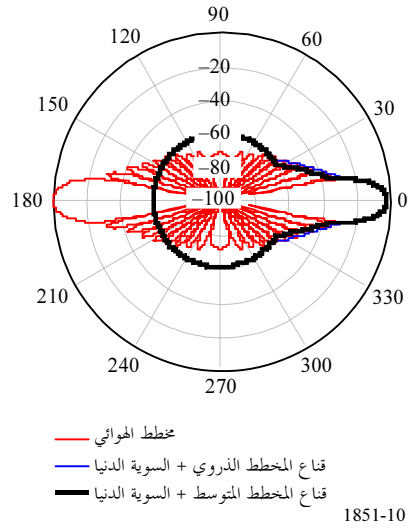
الشكل 9

مخطط هوائي بجيب التمام التريبيعي، الغلاف الذروي والمتوسط



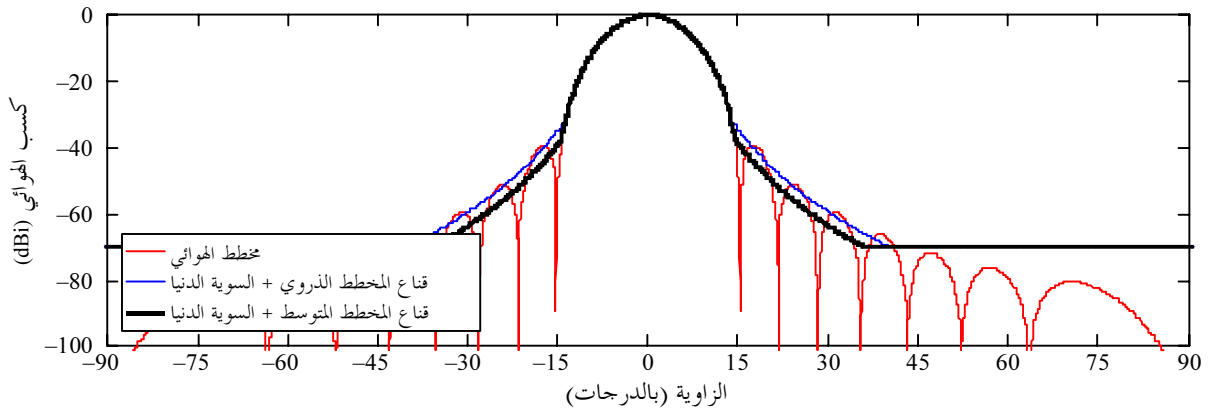
الشكل 10

مخطط هوائي قطبي بجيب التمام التربيعي، الغلاف الذروي والمتوسط



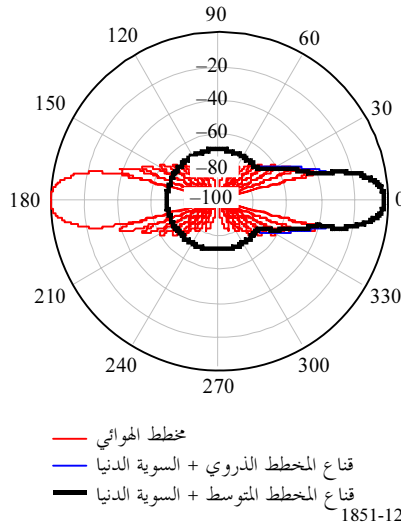
الشكل 11

مخطط هوائي بجيب التمام التكميبي، الغلاف الذروي والمتوسط



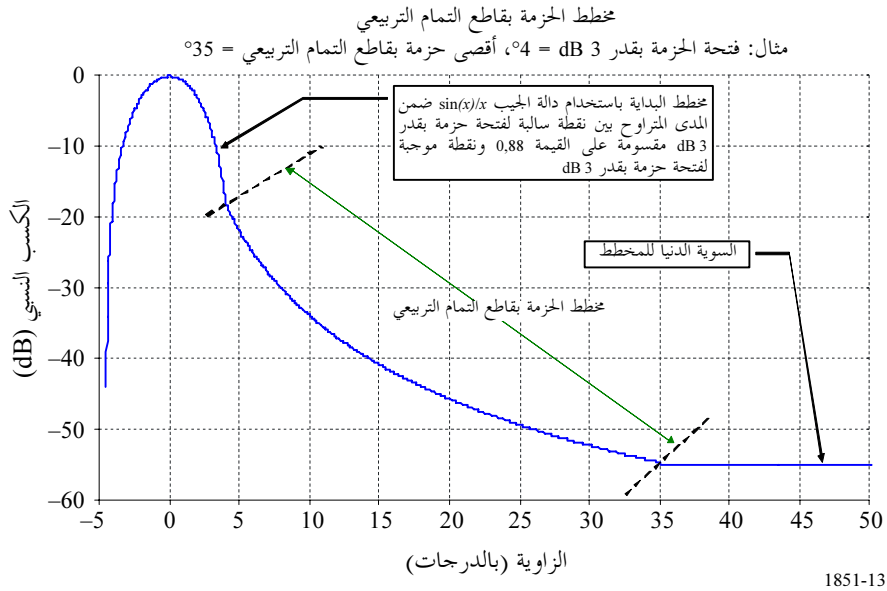
الشكل 12

مخطط هوائي قطبي بجيب التمام التكعيبي، الغلاف الذروي والمتوسط



الشكل 13

غلاف مخطط الهوائي بقاطع التمام التريبيعي



3 اختيار مخطط الهوائي

يستند الاقتراح الذي يقدم الكيفية التي ينبغي اختيار مخطط الهوائي طبقاً لها إلى معلومات حول فتحة نصف القدرة لحزمة الهوائي وسوية الذروة للفصوص الجانبية. ويقدم الجدول 5 هذه الكيفية.

الجدول 5

جدول اختيار المخطط

رقم المعادلة	السوية الدنيا المقترحة للقناع (dB)	الثابت المضاف إلى مخطط الذروة من أجل تحويله إلى قناع متوسط (dB)	نقطة انقطاع المخطط المتوسط التي يتباين فيها القناع عن المخطط النظري (dB)	نقطة انقطاع المخطط الذروي التي يتباين فيها القناع عن المخطط النظري (dB)	معادلة القناع بعد نقطة انقطاع المخطط التي يتباين فيها القناع عن المخطط النظري (dB)	مخطط الاتجاهية $F(\mu)$	نمط توزيع الهوائي الممكن	مدى السوية الأولى للفصوص الجانبية الأدنى من الذروة المقاسة للفص الرئيسي (dB)
(13)	30-	3,72-	12,16-	5,75-	$-8.584 \cdot \ln \left(2.876 \cdot \frac{ \theta }{\theta_3} \right)$	$\frac{\sin(\mu)}{\mu}; \mu = (\pi \cdot 50.8 \cdot \sin(\theta)) / \theta_3$	توزيع موحد	13,2 - إلى 20 dB
(14)	50-	4,32-	20,6-	14,4-	$-17.51 \cdot \ln \left(2.33 \cdot \frac{ \theta }{\theta_3} \right)$	$\frac{\pi}{2} \left[\frac{\cos(\mu)}{\left(\frac{\pi}{2}\right)^2 - \mu^2} \right]; \mu = (\pi \cdot 68.8 \cdot \sin(\theta)) / \theta_3$	توزيع بجيب التمام (COS)	20 - إلى 30 dB
(15)	60-	4,6-	29,0-	22,3-	$-26.882 \cdot \ln \left(1.962 \cdot \frac{ \theta }{\theta_3} \right)$	$\frac{\pi^2}{2 \cdot \mu} \left[\frac{\sin(\mu)}{\left(\pi^2 - \mu^2\right)} \right]; \mu = (\pi \cdot 83.2 \cdot \sin(\theta)) / \theta_3$	توزيع بجيب التمام التربيعي (COS ²)	30 - إلى 39 dB
(16)	70-	4,2-	37,6-	31,5-	$-35.84 \cdot \ln \left(1.756 \cdot \frac{ \theta }{\theta_3} \right)$	$\frac{3 \cdot \pi \cdot \cos(\mu)}{8} \left[\frac{1}{\left(\frac{\pi}{2}\right)^2 - \mu^2} - \frac{1}{\left(\frac{3 \cdot \pi}{2}\right)^2 - \mu^2} \right];$ $\mu = (\pi \cdot 95 \cdot \sin(\theta)) / \theta_3$	توزيع بجيب التمام التكعيبي (COS ³)	39 dB - أو أكثر

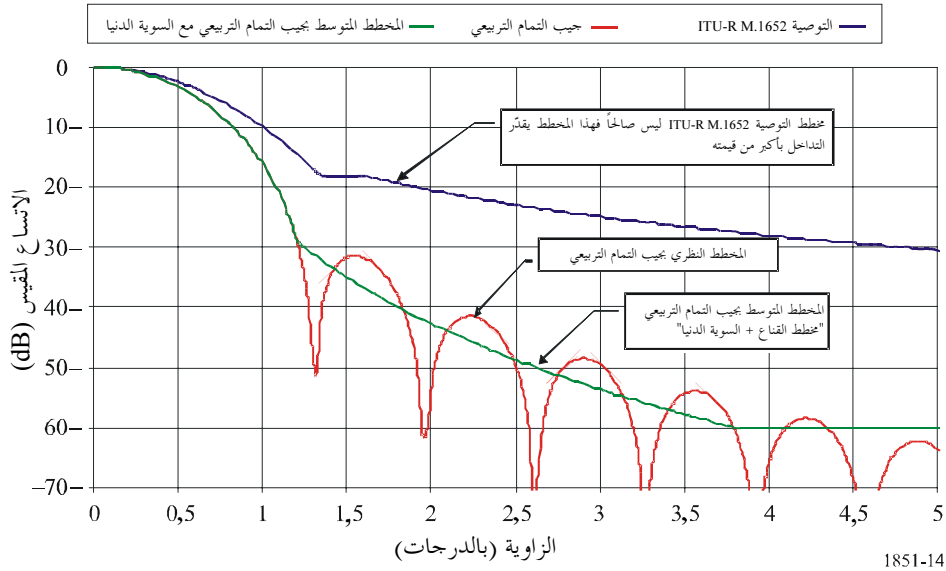
4 مقارنة مخططات الهوائي

تعطي التوصية ITU-R M.1652 أحد النماذج الرياضية التي يتعين استخدامها لمخططات هوائيات أنظمة الرادارات في خدمة الاستدلال الراديوي والتي تم استخدامها في تحليل التداخل ويتضمن هذا النموذج معادلات يتوجب استخدامها للعديد من المخططات بصفتها دالة تتوقف على كسب الهوائي. وثبتت المقارنة بين النماذج المطورة في هذه التوصية وبين نظام الرادار جيم (C) من التوصية ITU-R M.1638 أن المخطط الوارد في التوصية ITU-R M.1652 ليس هو المخطط الأمثل. ومثلما يبين ذلك الشكل 14، فإن المخطط الوارد في التوصية ITU-R M.1652 يقدر كسب الهوائي للانحراف عن محور تسديد الهوائي بقدر أكبر بكثير من قيمته (0°).

الشكل 14

مقارنة مخططات الهوائي

مقارنة مخطط التوصية ITU-R M.1652 بمخططي جيب التمام التريبي (مثال: نظام الرادار جيم: الكسب = 44 dBi، (المخطط الرأسي) Az = El (مخطط السميت) فتحة الحزمة = 0,95°، السوية الأولى للفصوص الجانبية = -35 dB)



5 تقريب المخططات ثلاثية الأبعاد (3-D)

يمكن استخدام المعطيات المحرزة من رسوم الألفة كأدوات لتحليل عمليات المحاكاة. ويمكن تقريب المخطط ثلاثي الأبعاد (3-D) بسهولة. ويتم إنجاز ذلك بضرب انقطاعات التوتر على المستويين الرئيسيين الأفقي والرأسي. ومن أجل القيام بذلك، ضع مخطط المستوى الرئيسي الرأسي في العمود الأوسط لمصفوفة مربعة، واجعل كل العناصر الأخرى مساوية للصفر. ثم ضع مخطط المستوى الرئيسي الأفقي في الصف الأوسط واجعل كل العناصر الأخرى مساوية للصفر. واضرب المصفوفتين معاً ثم نفذ الرسم. ولاحظ أنه لا بد من تقييس كل المخططات.

وتعطي العبارة التالية المعادلة اللازمة لحساب المخطط ثلاثي الأبعاد:

$$(17) \quad P_{i,h} = 20 \log \left[\sum_{k=0}^N |H_{k,i} V_{h,k}| \right]$$

حيث يتم تحديد مصفوفتي الارتفاع والسمت، بوحدات فلت، ضمن المعادلتين (18) و(19).

وتعطي المعادلة التالية المخطط الرأسي:

$$(18) \quad \begin{pmatrix} 0 & \dots & 0 & El_1 & 0 & \dots & 0 \\ 0 & \dots & 0 & El_2 & 0 & \dots & 0 \\ \dots & \dots & 0 & El_3 & 0 & \dots & \dots \\ \dots & \dots & \dots & \dots & \dots & \dots & \dots \\ \dots & \dots & \dots & \dots & \dots & \dots & \dots \\ 0 & \dots & 0 & El_{N-1} & 0 & \dots & 0 \\ 0 & \dots & 0 & El_N & 0 & \dots & 0 \end{pmatrix} = \text{المصفوفة الرأسية } (V_{h,k})$$

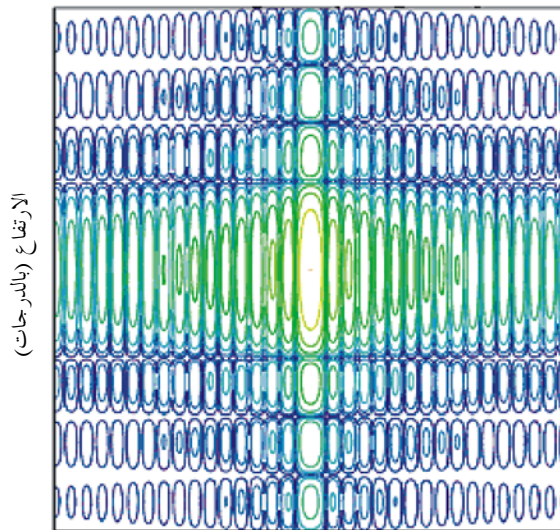
وتُعطي المعادلة التالية المخطط الأفقي:

$$(19) \quad \begin{pmatrix} 0 & \dots & \dots & \dots & \dots & 0 \\ \dots & \dots & \dots & \dots & \dots & \dots \\ 0 & 0 & \dots & \dots & 0 & 0 \\ Az_N & Az_{N-1} & & & Az_2 & Az_1 \\ 0 & 0 & \dots & \dots & 0 & 0 \\ \dots & \dots & \dots & \dots & \dots & \dots \\ 0 & \dots & \dots & \dots & 0 & 0 \end{pmatrix} = \text{المصفوفة الأفقية } (H_{k,i})$$

ويُقدم الشكل 17 مثالاً عن مخطط ثلاثي الأبعاد.

الشكل 15

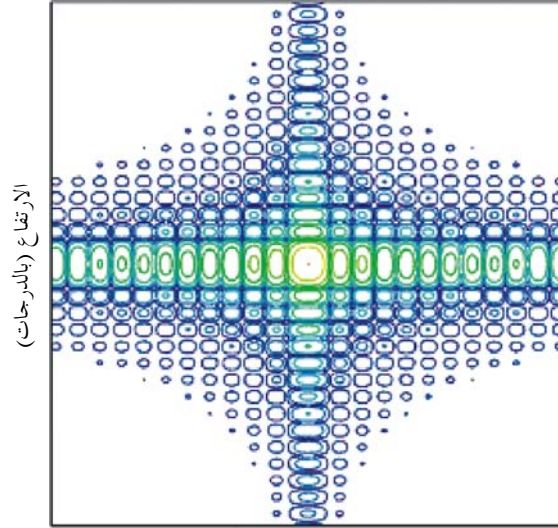
مخطط أكفة الهوائي للقيمتين الأفقية (BW_H = 1,2°) والرأسية (BW_V = 6°)



السمت (بالدرجات)

الشكل 16

مخطط أكفة هوائي للقيمتين الأفقية والرأسية ($BW_H = BW_V = 1,7^\circ$)

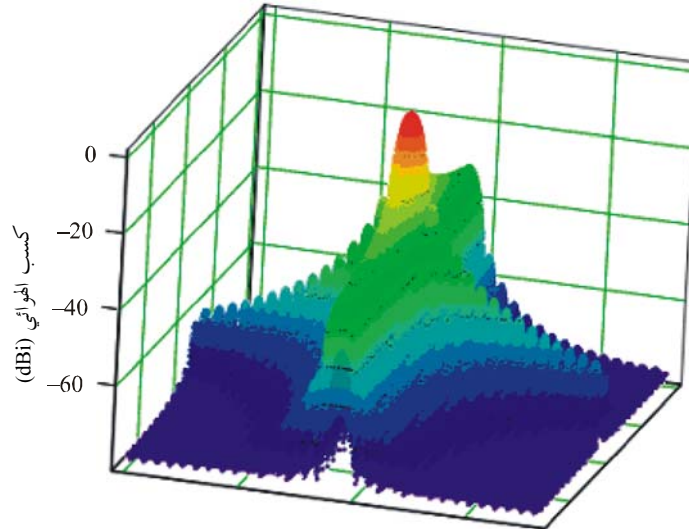


السمت (بالدرجات)

1851-16

الشكل 17

مخطط هوائي ثلاثي الأبعاد كمثال

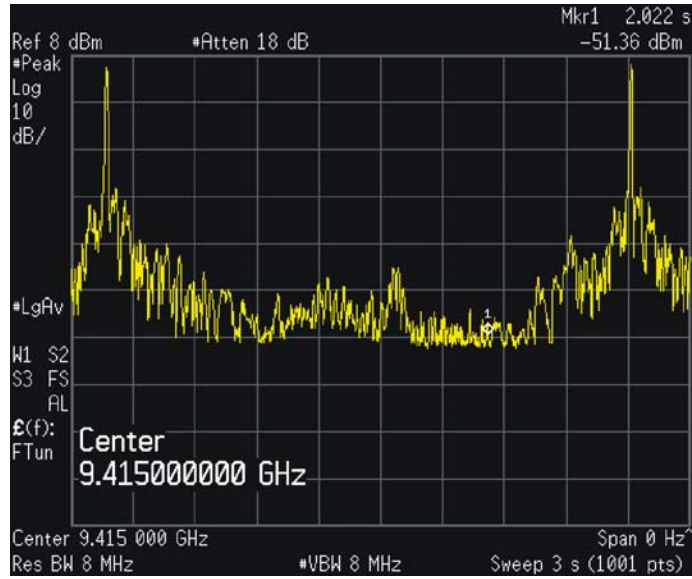


1851-17

6 مثال لمخطط مقاس

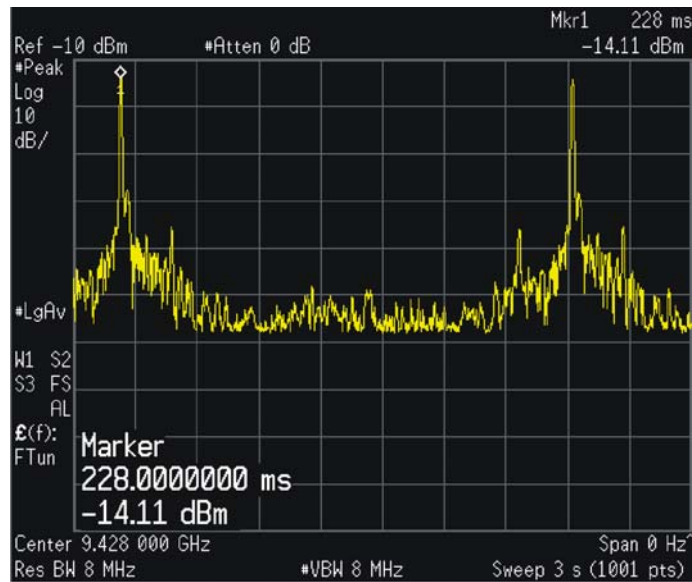
يقدم الشكلان التاليان مثالين عن معطيات لاختبار مخططين لهوائيين من هوائيات أنظمة الرادارات، ضمن النطاق 9 GHz، ويمثلان سوية الذروة للفصوص الجانبية والسوية الدنيا للمخطط.

الشكل 18
مخطط هوائي مقاس كمثال



1851-18

الشكل 19
مخطط هوائي مقاس كمثال



1851-19